

Controllo LQ robusto di un pendolo inverso

candidato: Matteo Tesori
relatore: Professor Luigi Chisci

Università degli studi di Firenze
Corso di Laurea in Ingegneria Elettronica e delle
Telecomunicazioni
curriculum Automatica

Firenze 20 aprile 2017

Processo controllato

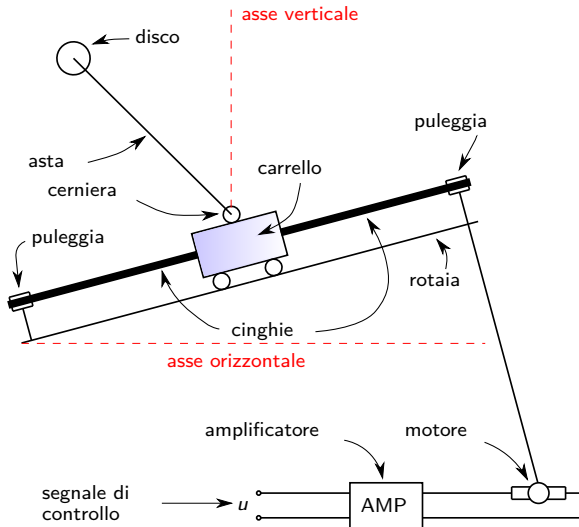
Pendolo incernierato ad un carrello mobile.

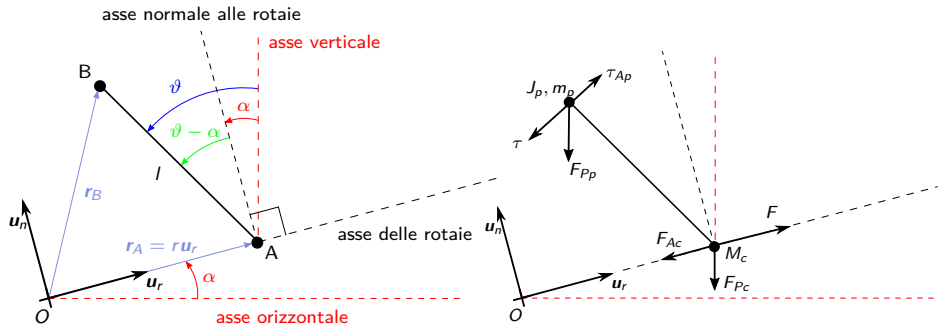
Gradi di libertà:

- angolo di elevazione pendolo (ϑ)
- posizione carrello (r)

Obiettivo del controllo

Mantenere nel tempo il pendolo in posizione verticale agendo sul carrello





Dinamica descritta da una coppia di equazioni non lineari \Rightarrow ipotesi semplificative

Dinamica diretta “linearizzata”:

$$(M_c + m_p)\ddot{r} - m_p l \ddot{\vartheta} + (M_c + m_p)g\alpha + b\dot{r} + F_s \text{sign}(\dot{r}) = au$$

$$(J_p + m_p l^2)\ddot{\vartheta} - m_p l \ddot{r} - m_p g l \vartheta + c\dot{\vartheta} = \tau$$

- 1 Stato del processo nell'intorno dell'equilibrio instabile
- 2 $\alpha \approx 0$

Rappresentazione di stato

$$x := \begin{bmatrix} r & \vartheta & \dot{r} & \dot{\vartheta} \end{bmatrix}^T$$

$$y := \begin{bmatrix} r & \vartheta - \alpha & \dot{r} \end{bmatrix}^T$$

 \Rightarrow

$$\dot{x} = Ax + B_u u + B_\alpha \alpha + B_\tau \tau + B_{F_s} F_s \text{sign}(e_3^T x)$$

$$y = Cx + D_\alpha \alpha$$

Discretizzazione ZOH $x_k := x(t = kT)$

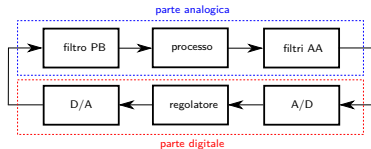
$$x_{k+1} = \Phi x_k + \Gamma_u u_k + \Gamma_\alpha \alpha_k + \Gamma_\tau \tau_k + N_k(e_3^T x_k; T)$$

$$y_k = Cx_k + D_\alpha \alpha_k$$

ipotesi: u , α e τ costanti per tutta la durata durante gli intervalli di campionamento

$$\Phi = \exp(AT) \quad \Gamma_i = \int_0^T \exp(A\sigma) B_i d\sigma \quad \text{per } i = u, \alpha, \tau$$

$$N(e_3^T x_k; T) = \int_0^T \exp[A(T - \sigma)] B_{F_s} F_s \text{sign}[e_3^T x(\sigma + kT)] d\sigma$$



Anello di retroazione "ibrido"



Processo aumentato

processo ridotto $x_{k+1} = \Phi x_k + \Gamma_u u_k + \Gamma_\alpha \alpha_k + \Gamma_\tau \tau_k$
 $y_k = C x_k + D_\alpha \alpha_k$

modello interno $w_{k+1} := w_k + (e_1^T x_k - r_{sp})$

modello completamente lineare
(trascurato il disturbo non lineare)

$$x^a := \begin{bmatrix} x \\ w \end{bmatrix} \Rightarrow$$

$$\begin{aligned} x_{k+1}^a &= \Phi^a x_k^a + \Gamma_u^a u_k + \Gamma_r^a r_{sp} + \Gamma_\alpha^a \alpha_k + \Gamma_\tau^a \tau_k \\ y_k &= C^a x_k^a + D_\alpha \alpha_k \end{aligned}$$

(Φ^a, Γ_u^a) raggiungibile

\Rightarrow LQR

controllo intrinsecamente
robusto

Problema LQ

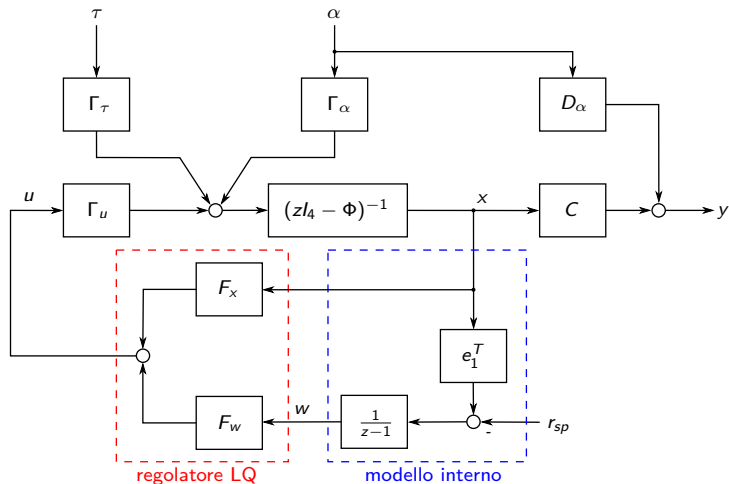
controllo ottimo LQ: $\operatorname{argmin}_u \sum_{k=0}^{\infty} x_k^{aT} Q x_k^a + R u_k^2$

$$\Rightarrow u_k = \begin{bmatrix} F_x & F_w \end{bmatrix} x_k^a$$

Soluzione sottoforma di retroazione
statica dello stato del processo
aumentato

- ipotesi:
- $Q \neq 0_{5 \times 5}, \geq 0$
 - $R > 0$
 - (Φ^a, \sqrt{Q}) osservabile

dove $\begin{cases} P \geq 0 : P = \Phi^{aT} P \Phi^a - \Phi^{aT} P \Gamma_u^a (R + \Gamma_u^{aT} P \Gamma_u^a)^{-1} \Gamma_u^{aT} P \Phi^a + Q & \text{(ARE)} \\ \begin{bmatrix} F_x & F_w \end{bmatrix} = -(R + \Gamma_u^{aT} P \Gamma_u^a)^{-1} \Gamma_u^{aT} P \Phi^a & \text{(Guadagno ottimo)} \end{cases}$



Schema di controllo a regolazione "statica"



$x_4^a = \dot{\vartheta}$ non disponibile

schema LQ non realizzabile

(Φ^a, C^a) osservabile

⇒ inserimento nell'anello di un osservatore del I ordine

Obiettivi del progetto dell'osservatore

- Stabilità interna dell'anello chiuso
- Asintoticità: $\lim_{k \rightarrow \infty} \|x - \hat{x}\|_1 = 0$
- Robustezza: pieno recupero dei margini di stabilità LQ (*Full LTR*)

Struttura dell'osservatore *robusto*

$$\begin{aligned} v_{k+1} &= E v_k + H u_k + M y_k \\ \hat{x}_k &= L_1 y_k + L_2 v_k \end{aligned}$$

equazioni di stato di un generico osservatore

dove

① $T\Phi - ET - MC = 0_{1 \times 4}$

② $H = T\Gamma_u$

③ $\begin{bmatrix} L_1 & L_2 \end{bmatrix} = \begin{bmatrix} C \\ T \end{bmatrix}^{-1}$

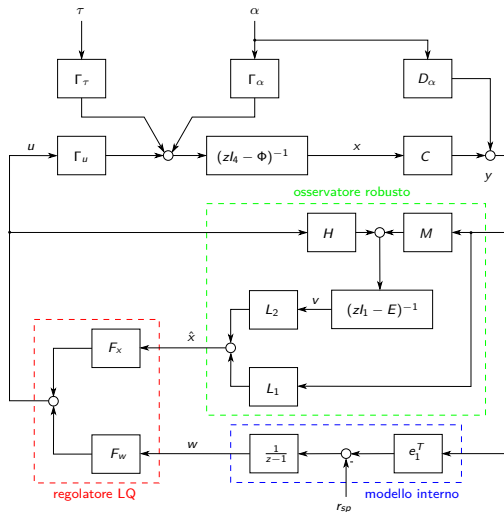
④ $T : \exists \begin{bmatrix} C \\ T \end{bmatrix}^{-1}$

principio di separazione

$|E| < 1 \Rightarrow$ stabilità, asintoticità

assenza zeri invarianti

$H = 0 \Rightarrow$ robustezza



Schema di controllo a regolazione dinamica

Problema di progetto

$$\begin{cases} T\Phi - ET - MC = 0_{1 \times 4} \\ H = T\Gamma_u \\ \begin{bmatrix} L_1 & L_2 \end{bmatrix} = \begin{bmatrix} C \\ T \end{bmatrix}^{-1} \\ T : \text{rank} \begin{bmatrix} C \\ T \end{bmatrix} = 4 \end{cases}$$

Algoritmo risolutivo

- **Passo 1** Fissare $|E| < 1, H = 0$
- **Passo 2** Determinare T, M (1a-2a eq.)
- **Passo 3** Determinare L_1, L_2 (3a eq.)

Dettaglio passo 2

5 equazioni in 7 incognite

$$\begin{bmatrix} \Phi^T - EI_4 & -C^T \\ \Gamma_u^T & 0_{1 \times 3} \end{bmatrix} \begin{bmatrix} T^T \\ M^T \end{bmatrix} = \begin{bmatrix} 0_{1 \times 3} \\ H \end{bmatrix}$$

⇒ aggiunta di una coppia di vincoli:

- invertibilità $[C^T \ T^T]^T$ (4a eq.)
- indipendenza SdC da $x_1^a = r$

7 equazioni in 7 incognite

$$\begin{bmatrix} \Phi^T - EI_4 & -C^T \\ \Gamma_u^T & 0_{1 \times 3} \\ e_4^T \\ e_5^T \end{bmatrix} \begin{bmatrix} T^T \\ M^T \end{bmatrix} = \begin{bmatrix} 0_{1 \times 3} \\ H \\ 1 \\ 0 \end{bmatrix}$$

sistema con una ed una sola soluzione

Compensatore non lineare

ipotesi: \dot{r} costante per tutta la durata durante gli intervalli di campionamento

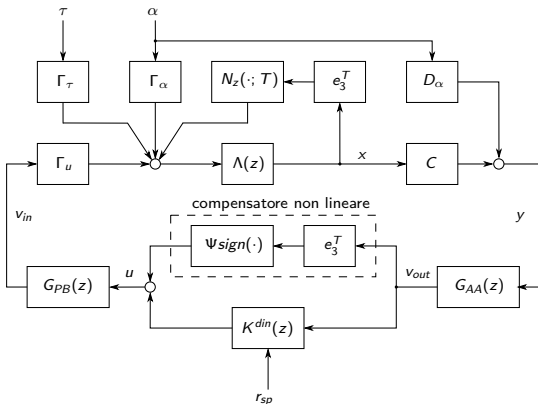
$$\Rightarrow u_k = \frac{F_s}{a} \text{sign}(\dot{r}_k)$$

reiezione totale del disturbo non lineare

- ipotesi non realistica
- F_s non noto
- presenza filtri

$$\Rightarrow u_k = \Psi \text{sign}(e_3^T v_{out_k})$$

reiezione parziale del disturbo non lineare



Schema di controllo definitivo

$$\Lambda(z) := (zI_4 - \Phi)^{-1} \quad N_z := \mathcal{Z}[N_k]$$

$$\text{filtri AA } G_{AA} := (zI_3 + a_{out}I_3)^{-1} a_{out} \quad \text{filtro PB } G_{PB} := (zI_1 + a_{in}I_1)^{-1} a_{in}$$

$$\text{regolatore LQO } K^{din} := F_x [L_1 + L_2(zI_1 - E)^{-1} M] + F_w e_1^T (z - 1)^{-1}$$

Gradi di libertà del progetto

$$T := 5 \text{ ms}$$

$$\omega_T \geq 2\omega_b$$

$$Q := \text{diag}(10 \quad 2000 \quad 2 \quad 2.5 \quad 0.001)$$

$$R := 0.1$$

compromesso tra prontezza e
stabilità/consumi di potenza

$$E = 0.9 \text{ rad/s}$$

compromesso tra prontezza e
sensibilità ai disturbi

$$\Psi := 0.5 \text{ V}$$

$\approx F_s/a$ ipotizzando $F_s = 5 \text{ N}$

Pulsazioni di taglio filtri

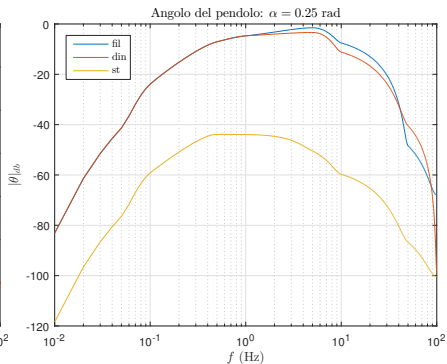
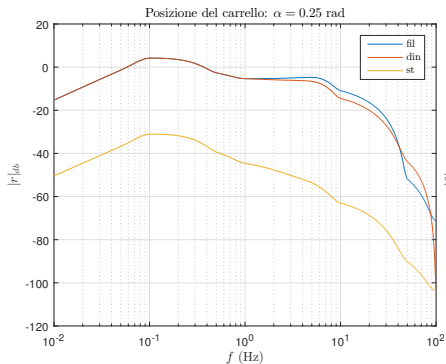
$$a_{\text{in}} := 259.4707 \text{ rad/s}$$

$$a_{\text{out}} := 227.2727 \text{ rad/s}$$

	senza filtri (LQ/LQO)	con filtri (LQOF)
--	--------------------------	----------------------

scelta effettuata in modo da avere
un'accettabile degradazione dei
margini stabilità caratterizzanti il
controllo LQ

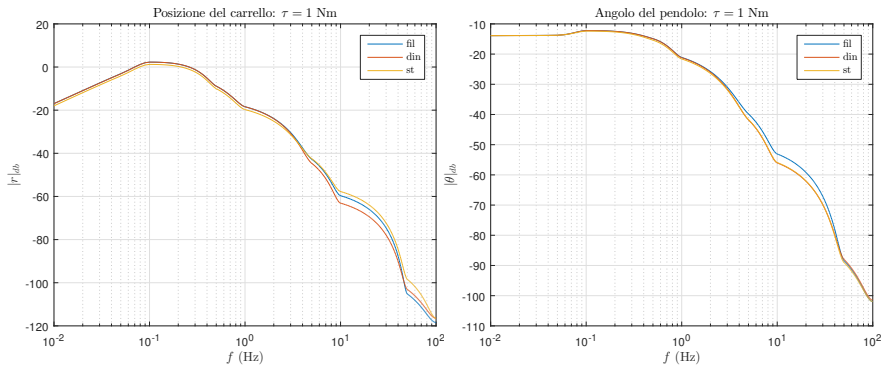
margine di fase	68°	45°
margini di guadagno	0.2481 8.9231	0.3977 4.5288



legenda: st, din, fil \Leftrightarrow LQ, LQO, LQOF

Netto effetto negativo da parte dell'osservatore

Effetto dei filtri trascurabile rispetto all'effetto dell'osservatore



legenda: st, din, fil \Leftrightarrow LQ, LQO, LQOF

Risposte praticamente indistinguibili

Controllo dell'errore di energia $\tilde{\mathcal{E}} := \mathcal{E} - \mathcal{E}_{\text{instab}}$ (ipotesi: $\alpha \approx 0$)

- $\mathcal{E} = \frac{1}{2}(J_p + m_p l^2)\dot{\vartheta}^2 + m_p g l \cos \vartheta$, energia meccanica del pendolo priva del termine cinetico traslazionale, trascurato a favore del termine cinetico rotazionale
- $\mathcal{E}_{\text{instab}} = m_p l g$, energia meccanica del pendolo all'equilibrio instabile

$$u : \dot{\tilde{\mathcal{E}}} = -\gamma |\dot{\vartheta} \cos \vartheta| \text{sat}_{\beta g}(k\tilde{\mathcal{E}}) \quad \Rightarrow \quad \lim_{t \rightarrow \infty} \tilde{\mathcal{E}} = 0 \text{ per } k, \beta > 0 \quad (\gamma \text{ costante positiva})$$

- Controllo di tipo bang-bang per grandi errori di energia (fase iniziale dello swing up)
- Controllo di tipo proporzionale per piccoli errori di energia (intorno equilibrio instabile)

Osservatore non lineare

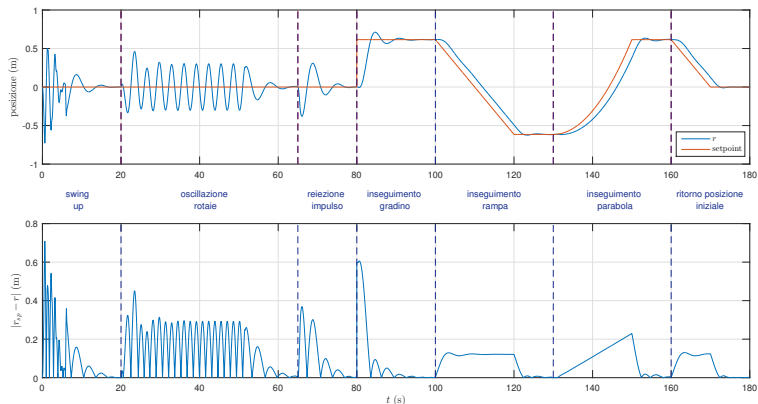
Velocità angolare del pendolo ricostruita tramite un filtro derivativo analogico

$$G_{\text{der}}(s) = k_{\tau} \frac{1}{1 + k_{\tau}/s} \quad \text{con } k_{\tau} \rightarrow \infty$$

Limitatore

Lunghezza rotaie finita \Rightarrow penalizzazione posizioni prossime ai fine corsa

$$\text{limitatore} : k_{\text{lim}} \text{sign}(r) \log(1 - |r|/R) \quad R = 0.75 \text{ m} \quad (\text{semilunghezza rotaie})$$



errore di inseguimento a regime

- nullo al gradino
- limitato alla rampa
- illimitato alla parabola

$$\alpha = 0.075 \sin(2t)[1(t-20) - 1(t-20+10\pi)] \text{ rad}$$

$$\tau = [1(t-65) - 1(t-65.5)] \text{ Nm} \approx \delta(t-65) \text{ Nm}$$



G.A.Medrano-Cerda (1999)

Robust Computer Control of an Inverted Pendulum

IEEE Control Systems Magazine, vol. 19, no. 3, pp. 58 - 67.



K. J. Åström, K. Furuta (1996)

Swinging up a pendulum by energy control

IFAC 13th World Congress.



D. Chatterjee, A. Patraa, H. K. Joglekar (2002)

Swing-up and stabilization of a cart-pendulum system under restricted cart track length

Systems & Control Letters, no. 47, pp. 355 – 364.

